

東京大学大学院 田辺忠頭

序 土木工事に於けるプレキャスト部材の活用の一つに次の合成梁工法がある。これは図-1のa,b,c,dに示した如くプレキャストアーチ部と新コンクリートを打設し、断面を増してプレキャスト部材と一体化せしめ、完成断面をつくるものである。クレーンによりプレキャストプレストレス梁を支間に簡単に架設し、それを足場に上部コンクリートの打設作業を行う事が出来るので、支保工を極めて簡易化する事が出来るし、これを全く必要としない場合も起り得る。その他架設地盤の交通流を全く妨げない利点があり、又或る場合には工事の繁雑度を少くする事が出来て工期を短縮出来る事もある。

この種の合成方法を実施に移すには、光らず打ち継ぎ面に関して三つの技術的問題点を明らかにする必要がある。オ1は上下に打ち継いで合成したコンクリート梁の水平打継ぎ面の静的剪断強度ならびに剪断疲労強度及びその補強方法である。それは鉛直荷重がかかる時、定着部を除く梁中間の水平打継ぎ面に主として働く力が剪断応力である事による。オ2の問題点は収縮差応力である。この種の合成部材に於ては梁の上部下部でコンクリートの材令が異なるため一体化した後、上下部でクリヤー量、乾燥収縮量を異にする。その為互いに拘束しあって内部応力が発生する。オ3の問題は打継ぎ後に再ストレッシングを行う場合、合成梁端部の強度補強方法である。打継ぎで完全な梁断面を作製した後、断面にさらにアーチ部を導入する場合、梁端にも水平な打継ぎ面があるが、この梁端部水平打継ぎ面の割裂強度、そして剪断強度あるいはこの両応力の組合せ作用に対する強度が問題となる。新旧コンクリートのヤング率が異なる場合には、このファクターも考慮に入れなければならない。この報告は以上の三点につき行なった基礎研究の結果をまとめたものである。

1. 水平打継ぎ面の剪断強度、剪断疲労強度

すウェブ部分の梁を作製し5日～7日養生した後プレストレスを導入した。次に打継ぎ面の表面処理を行なった後フランジ部のコンクリートをその上に打ち継いだ。

この様にして作製した合成T型梁供試体20本の静的曲げ試験、7本の曲げ疲労試験より、次の事が認められた。打継ぎ面の剪断強度は、打継ぎ面の処理如何によって異なる。最も大切な事は、ブリージングによって生じた旧コンクリート上部の品質の悪くなった部分を完全に取り除き打継ぎ面を充分清潔に

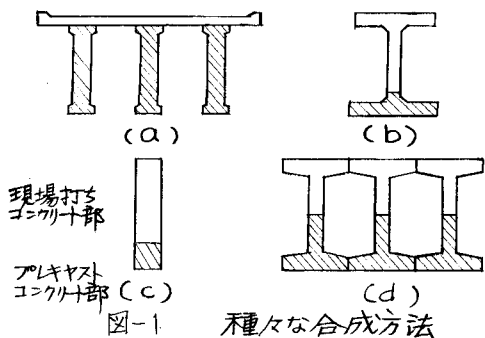


図-1 各種合成方法

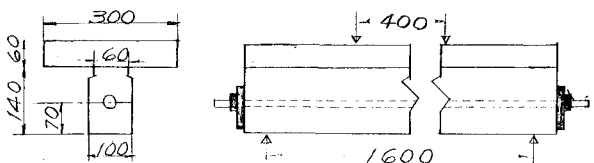


図-2 合成T型梁供試体

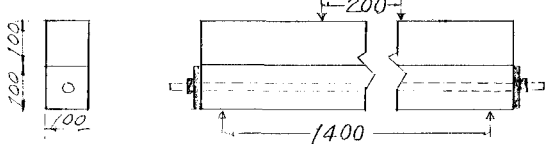


図-3 合成アーチ梁供試体

する事である。この様な表面処理を入念に行つて打継いだ場合、打継面を持たず凹凸にしなくても、そのコンクリートの引張強度程度の剪断強度を發揮させ得る事が明らかになった。(表-1参照) なお適當な方法で旧コンクリート打継面に粗骨材最大寸法の1/2程度の凹凸をつければ剪断強度を更に10%~20%増加させる効果のある事も認められた。これは粗骨材のかみあいの影響と考えられる。上記の凹凸をついた場合、コンクリートの圧縮強度と剪断強度の関係はほぼ $T_u = 0.04\sigma_c + 24$ (kg/cm^2) — (1) $200 \text{ kg/cm}^2 < \sigma_c < 500 \text{ kg/cm}^2$ T_u : 剪断強度 σ_c : 圧縮強度(上下部いずれか弱い方)で表わされる。(表-2 参照) 入念に施工した場合には上記の強度を發揮させ得る。

が、一層安全である様に、又急激な破壊を防止する為には、何等かの補強が必要である。このため最も実用的なスター・ラップの補強効果を検討した。(表-3 参照)

この結果スター・ラップは梁の韌性を増すために非常に効果のある他、打継面の剪断強度を増すためにも非常に有効である事が認められた。スター・ラップで補強された打継面の剪断強度は、ほぼ次式で表わされる。

$$T_u = 0.04\sigma_c + 1.6P + 24 \quad (\text{kg/cm}^2) \quad (2)$$

T_u : 剪断強度 σ_c : 圧縮強度

P : スターラップ量 (%) 水平打継ぎ面の繰返し応力に対する強度に関しては、静的試験に用いたものと全く同様の供試体をつくり同じ載荷方法で検討を行なった。その結果、(表-4 参照) 応力が交番しない場合には、繰返し荷重の上限値が静的剪断強度の60%程度ならば 200万回の繰返しに充分にえられる事が示された。上記の試験は、打継ぎ面と下断面のフランジヒュエブとの接続面に設けた梁だけについて行ったものである。又曲げ破壊を先行して、剪断破壊をおこさせる様に打継ぎ部分で断面を縮小してもある。従ってこれらの実験結果が、直ちに他の打継ぎ位置の場合に適用出来るとは限らない。そこで、梁中立軸を含む中心面で打継ぎた矩形の合成梁供試体(図-3 参照)を作製し断面急変部以外の打継ぎ位置の場合について検討した。梁の作製方法中、載荷方法はT型梁と同一にした。

表-1 打ち糸巻き面の表面处理の種類がせん断強度にあらわす影響

(1)	(2)	(3)	(4)	(5)	(6)
供試体 番号	打ち糸巻き 面の凹凸 程度	せん断強度 (3)の荷重 と判定した 荷重(t)	せん断強度 (4)の荷重 と判定した 荷重(t)	コンクリートの 圧縮強度 T_u (kg/cm^2)	圧縮強度 σ_c (kg/cm^2)
C4	粗骨材最大 寸法	7.00	0.091	42	485 468
C5	"	6.94	0.093	42	487 502
C1	最大骨材 粒度	7.00	0.053	42	476 425
C2	"	6.45	0.031	39	480 435
C3	"	8.35	0.074	50	493 478
C6	凹凸無し レバーフレア 面	6.02	0.039	36	509 418
C7	"	258	0.288	15	482 416

Iは全断面有効として算出

表-2 コンクリートの圧縮強度とせん断強度との関係

(1)	(2)	(3)	(4)	(5)	(6)	(7)
供試体 番号	打ち糸巻き 面の凹凸 程度	せん断強度 (3)の荷重 と判定した 荷重(t)	せん断強度 (4)の荷重 と判定した 荷重(t)	コンクリートの 圧縮強度 T_u (kg/cm^2)	コンクリートの 圧縮強度 T_u (kg/cm^2)	$T_u = 0.04\sigma_c + 24$
C8	粗骨材最大 寸法	5.60	0.062	34	296 238	34 1
C9	"	6.96	0.056	42	379 324	36 0.86
C10	"	6.83	0.065	41	393 324	36 0.88
C1	"	7.00	0.053	42	476 425	41 0.98
C2	"	6.45	0.031	39	480 435	41 1.10
C3	"	8.35	0.074	50	493 478	43 0.86

表-3 スターラップによる補強効果

(1)	(2)	(3)	(4)	(5)	(6)	(7)	(8)	(9)
供試体番号	スターラップの 延長方法	スターラップ 使用量	表面処理の 程度	せん断強度 (5)の荷重と 判定した荷重 量	せん断強度 (6)の荷重と 判定した荷重 量	コンクリートの 圧縮強度 T_u (kg/cm^2)	$T_u = 0.04\sigma_c + 1.6P + 24$	
R1	フック筋 裏筋筋筋	1.2	粗骨材最大 寸法	8.9 10.4 12	0.083 0.106 0.126	64 82 86	407 409 403	420 59 59
R2	フック筋 裏筋筋筋	1.2	粗骨材最大 寸法	9.3 10.9	0.062 0.105	56 67	482 428	53 60
R3	フック筋 裏筋筋筋	1.2	粗骨材最大 寸法	9.9 10.4	0.062 0.105	56 60	523 523	474 464
R4	フック筋 裏筋筋筋	0.6	粗骨材最大 寸法	9.3 10.9	0.053 0.062	42 60	476 476	53 62
R5	フック筋 裏筋筋筋	0.6	粗骨材最大 寸法	9.9 10.4	0.053 0.062	42 60	476 476	53 62
C1	スター・ラップ無	0.0	粗骨材最大 寸法	7.0 8.5	0.053 0.051	42 39	425 480	425 435
C2	スター・ラップ無	0.0	粗骨材最大 寸法	6.5 8.4	0.051 0.074	42 50	476 493	41 478
C3	スター・ラップ無	0.0	粗骨材最大 寸法	8.4 9.0	0.074 0.103	50 54	478 518	43 505
R6	フック筋 裏筋筋筋 定着長 5D 裏筋筋筋 定着長 5D 定着筋	1.2	粗骨材最大 寸法	10.9 10.9	0.134 0.134	87 87	516 516	492 492
R7	フック筋 裏筋筋筋 定着長 5D 裏筋筋筋 定着長 5D 定着筋	1.2	粗骨材最大 寸法	9.0 9.0	0.103 0.103	54 54	505 505	63 —

(注) R7 の丸鋼は、その上にビニールを巻き、ワイヤーをねじ、コンクリートとの接着をなくした。

これらの実験結果は表中に示す様である。これらは斜

供試体番号	打離面荷重	破壊土壌	破壊土壌様式	荷重増加率	下部分	上部分	コンクリートの正味強度
A1	9.25	1.1タスル 破壊	鉄筋	25.4%	419	444	
A2	11.00	"	30.2	508	494		
A3	11.05	レ1タスル 陥没	30.3	449	447		
A4	11.66	"	32.0	447	433		

表-5 矩形梁曲げ試験結果

引張によって崩壊しているため水平打離面の最終剪断強度は求められていない。表の値よりも大きいという事が言えるだけである。しかし二の値と対応するT型梁C6,C7の実験結果を観る時、矩形梁の水平打離面の剪断強度がT型梁で求めた剪断強度より低いという事はないと考えられる。したがって前に述べた(1)式、(2)式は上記の様な打離位置の場合にも、ほぼ適応出来ると考えられた。

2. 收縮差応力 收縮差応力に関しては、従来から種々研究が行なわれ、理論的にはアプローチがなされていてもいる。いざれも合成梁部と対になつているコントロール供試体によつて、上部下部の收縮差を求め、その差に比例して、弹性理論から応力を計算するものである。この計算方法については、大別して拘束状態の考え方を異にする二種類の方法が提案されている。これらの計算に従う時断面の形状によつては、相当大きが引張応力を生ずる時もある。コンクリートは内部応力を緩和するのに優れた材料であり、この收縮差応力を対してもクリーフ等により相当大きな減少効果を持つ事が予期されるが公表された研究で、これらのファクターを検討してあるものは殆んどない。それはこの場合、応力を直接供試体へ垂らすからだめられない事による。筆者は次の様な方法で、これらの内部応力を計る事を試みた。図-4に示す合成梁供試体の下部をモルタルとし、約90kg/cm²のプレストレスを導入した。翌日中25号の鉄筋を2本配置して上部コンクリートをこれに打離せ最最終断面を完成した。各荷重段階の時合成梁該当部全等しいコントロール供試体を三本づつと、一面を被覆して木枠蒸発を防ぐ全く合成梁該当部に等しい条件で養生を行つた。材令4か月上部、下部コントロール供試体の收縮差が300~350×10⁻⁶となつたところで、合成梁接合部にあらかじめ入れておいた溝を両面から充填し、合成梁の上部下部を切り離した。その後直ちに切離せられた合成梁上部と下部の変化を測定したのである。これらの結果は図-5に示す様であるが、別々に分つた上部、下部の供試体は材令とともに曲率を減じ、もとの如く直線になる傾向を持つが、その大きな変化は一日で終り、その後はある曲率を保つまま收縮してゆくが(下部供試体)そのまま一定で余り伸縮しない。(上部)

表-4 疲労試験結果

供試体番号	載荷方式	荷重			荷重
		下限荷重	上限荷重	下限荷重	
CF1	載荷方式	0.231	231~313	313~370	370.8
	下限荷重	0.4	0.4	0.4	
	上限荷重	3.5	4.5	5.5	
CF2	f/f _u	0.52	0.67	0.82	破壊
	載荷方式	0.309	309~401	401~451	451
	下限荷重	0.4	0.4	0.4	
供試体RF1	上限荷重	4.5	5.0	5.5	
	f/f _u	0.67	0.75	0.82	破壊
	載荷方式	0~26.4	26.4	31.0	3
RF2	下限荷重	1.2	1.2	1.2	
	上限荷重	6.0	7.0	7.0	
	f/f _u	0.62	0.73	0.73	破壊
RF3	載荷方式	0~140.8	140.8	140.8	
	下限荷重	1.2	1.2	1.2	
	上限荷重	6.0	7.0	7.0	鋼筋の剥離で破壊
RF4	f/f _u	0.62	0.73	0.73	
	載荷方式	0~23.5	23.5~28.9	28.9	7
	下限荷重	1.2	1.2	1.2	
RF4	上限荷重	7.0	8.0	8.0	
	f/f _u	0.73	0.83	0.83	破壊
	載荷方式	0~26.7	26.7~28.6	28.6	
RF4	下限荷重	2.0	2.0	2.0	
	上限荷重	7.2	8.6	8.6	
	f/f _u	0.60	0.71	0.71	

f: 上限荷重

f_u: 静的剪断強度

CF-RF1: それらの供試体打離面も粗骨材最大粒径の1/2程度の凹凸がある。

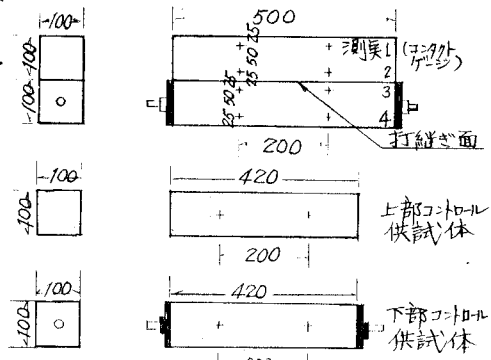


図-4

收縮差応力を測定した供試体

		供試体1			供試体2		
		理論値			実験値		
		直角部	直角部	直角部	直角部	直角部	直角部
		曲率半径	388	289	388	307	
上 部 分	1	-5	-2	-6	-5	0	-3
	2	+37	+9	+15	+37	+6	+13
下 部 分	3	-26	-3	-11	-26	-8	-13
	4	+24	-1	0	+24	+3	+9

表-6 収縮差シク

拘束解放直後の歪変化をもとにして計算した応力と解放後一日間の歪変化をもとにして計算した応力を表-6に示した。拘束を解放した後一日間かかるで生じる歪変化が内部応力によるものかクリープ歪の回復か明らかでないがそれを内部応力とみて応力を算出してもその値は理論値よりかなり小さくなる程度である。従って厳密な内部応力の計算は今迄の理論では不充分であり更に検討を要するが、内部応力の推定に当つて充分安全な自安を与えるものである。収縮差によつて生じる荒みは理論値よりかなり大きく充分注意する必要があると考えられる。筆者はこれらにつき更に検討中である。

3、合成桁端部水平打継部の強度、一般にPC桁端部では、プレストレス導入時に割裂応力のため軸方向ひびわれを発生しやすい。打継面の割裂強度、かぶせ筋筋強度は単体としてのコンクリートよりも小さいので、水平打継面を持つPC桁端部で、過早に打継面にひびわれを生じるおそれがある。実際の合成桁端部の問題は三次元の問題であるが、実験では二次元の段階から始めた。図-6に示す供試体で用い、梁中全体に荷重をかけたのである。その結果ヤング率が新旧コンクリートで等しい場合は、打継面があつても単体と同様に応力分布を考えられる事、ストレス導入時の打継面に対する相対位置のうち打継面をクリティカルにするような範囲は割り狭い事等が明らかになっていふ。実用に供する合成梁では新旧コンクリートの品質が同じとは限らずむしろ異なる場合の方が多い。それでコンクリート品質の差異の影響を検討するためヤング率及び強度に大差あるコンクリートを用いて端部の供試体を作製し破壊試験を行つてゐる。なおこの研究に対し、昭和41年度吉田研究奨励金を賜与されたがここに深謝する次第である。

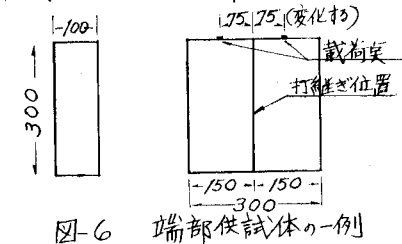
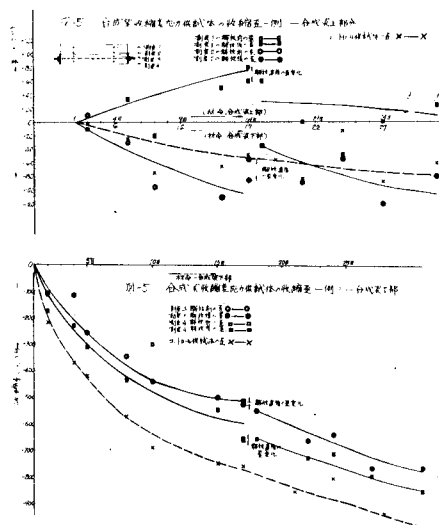


図-6 端部供試体の一例